

# Algorithmen für Routenplanung

16. Vorlesung, Sommersemester 2023

Jonas Sauer | 21. Juni 2023



## Zeitabhängige Netzwerke (Basics)

- Funktionen statt Konstanten an Kanten
- Operationen werden teurer
  - $\mathcal{O}(\log |I|)$  für Auswertung
  - $\mathcal{O}(|I^f| + |I^g|)$  für Linken und Minimum
  - Speicherverbrauch explodiert
- Zeitanfragen:
  - Normaler Dijkstra
  - Kaum langsamer (lediglich Auswertung)
- Profilanfragen
  - nicht zu handhaben

		Nodes	Arcs [ $\cdot 10^6$ ]	Avg. $ f $	Rel. Delay [%]		Size
		[ $\cdot 10^6$ ]	(TD [%])	TD arcs	All	TD	[GB]
Ber	Tuesday	0.4	1.0 (27.4)	75.0	3.1	17.6	0.2
	Saturday	0.4	1.0 (20.2)	69.1	2.1	14.8	0.1
Ger06	midweek	4.7	10.8 (7.2)	19.5	1.7	33.1	0.3
	Saturday	4.7	10.8 (3.9)	15.8	0.8	28.5	0.2
SynEur	Low	18.0	42.2 (0.1)	13.2	0.3	125.2	0.8
	Medium	18.0	42.2 (1.0)	13.2	0.8	124.9	0.8
	High	18.0	42.2 (6.2)	13.2	4.6	124.8	1.0
Ger17	Tuesday	7.2	15.8 (29.2)	31.6	3.5	20.8	1.3
Eur17	Tuesday	25.8	55.5 (27.2)	29.5	2.7	19.0	4.2
Eur20	Tuesday	28.5	60.9 (76.3)	22.5	21.0	34.9	8.7

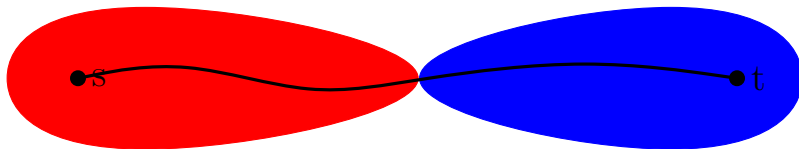
# Beschleunigungstechniken

# Bidirektionaler zeitabhängiger ALT

● S

● t

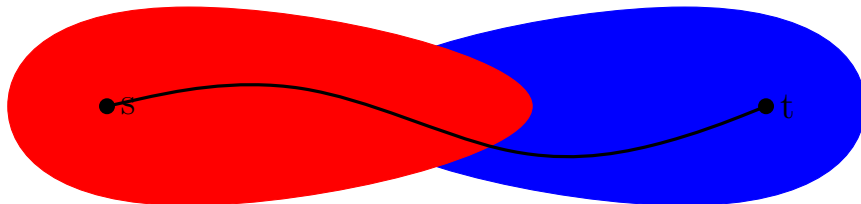
Drei Phasen:



## Drei Phasen:

- 1 Vorwärtssuche zeitabhängig, Rückwärtssuche auf **konstanten unteren Schranken**. Sobald Suchen sich treffen: Breche ab und berechne **obere Schranke**  $\mu$  für Distanz des gefundenen Pfads
  - Problem: Rückwärtssuche liefert nur **untere** Schranke
  - Variante 1: Werte gefundenen Pfad zur aktuellen Zeit aus (**genauer**)
  - Variante 2: Rückwärtssuche berechnet konstante obere Schranken mit (**schneller**)

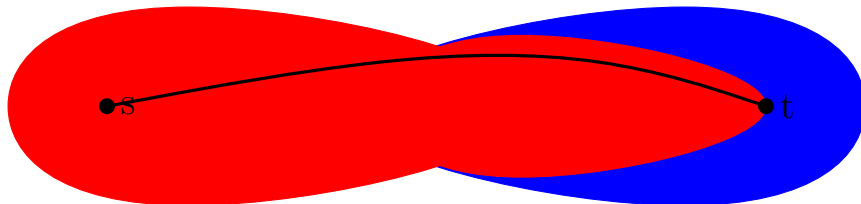
# Bidirektionaler zeitabhängiger ALT



## Drei Phasen:

- 1 Vorwärtssuche zeitabhängig, Rückwärtssuche auf **konstanten unteren Schranken**. Sobald Suchen sich treffen: Breche ab und berechne **obere Schranke**  $\mu$  für Distanz des gefundenen Pfads
  - Problem: Rückwärtssuche liefert nur **untere** Schranke
  - Variante 1: Werte gefundenen Pfad zur aktuellen Zeit aus (*genauer*)
  - Variante 2: Rückwärtssuche berechnet konstante obere Schranken mit (*schneller*)
- 2 Rückwärtssuche weiter bis  $\min\text{Key}(\overleftarrow{Q}) > \mu$

# Bidirektionaler zeitabhängiger ALT



## Drei Phasen:

- 1 Vorwärtssuche zeitabhängig, Rückwärtssuche auf **konstanten unteren Schranken**. Sobald Suchen sich treffen: Breche ab und berechne **obere Schranke**  $\mu$  für Distanz des gefundenen Pfads
  - Problem: Rückwärtssuche liefert nur **untere** Schranke
  - Variante 1: Werte gefundenen Pfad zur aktuellen Zeit aus (*genauer*)
  - Variante 2: Rückwärtssuche berechnet konstante obere Schranken mit (*schneller*)
- 2 Rückwärtssuche weiter bis  $\min\text{Key}(\overleftarrow{Q}) > \mu$
- 3 Vorwärtssuche arbeitet weiter, bis  $t$  gesettlet wird. Besucht nur Knoten, die die Rückwärtssuche zuvor besucht hat

## Beobachtung:

- Phase 2 läuft recht lange weiter, bis  $\text{minKey}(\overleftarrow{Q}) > \mu$  gilt
- Insbesondere dann schlecht, wenn die unteren Schranken stark vom echten Wert abweichen

## Approximation:

- Breche Phase 2 bereits ab, wenn  $\text{minKey}(\overleftarrow{Q}) \cdot K > \mu$  gilt
- Dann ist der berechnete Weg eine  $K$ -Approximation des kürzesten Weges

# Core-ALT

## Idee:

- Begrenze Beschleunigungstechnik auf kleinen Subgraphen (**Kern**)

S ●

● t

## Vorbereitung:

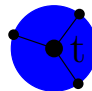
- Kontrahiere Graphen zu einem Kern
- Landmarken nur im Kern

## Anfrage:

# Core-ALT

## Idee:

- Begrenze Beschleunigungstechnik auf kleinen Subgraphen (Kern)



## Vorbereitung:

- Kontrahiere Graphen zu einem Kern
- Landmarken nur im Kern

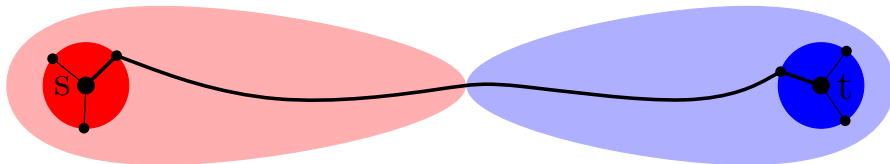
## Anfrage:

- Initialphase:
  - Vorwärts: zeitabhängiger Dijkstra
  - Rückwärts: normaler Dijkstra auf unteren Schranken

# Core-ALT

## Idee:

- Begrenze Beschleunigungstechnik auf kleinen Subgraphen (Kern)



## Vorbereitung:

- Kontrahiere Graphen zu einem Kern
- Landmarken nur im Kern

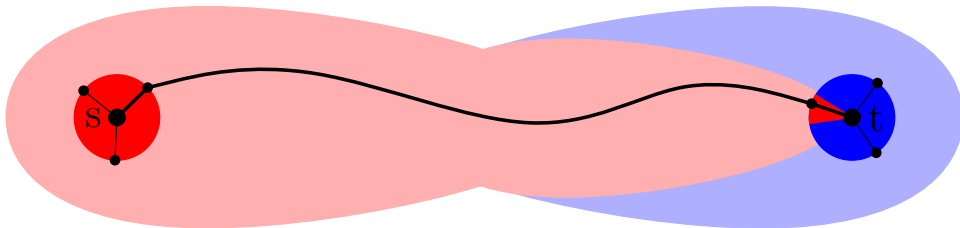
## Anfrage:

- Initialphase:
  - Vorwärts: zeitabhängiger Dijkstra
  - Rückwärts: normaler Dijkstra auf unteren Schranken
- Im Kern: Bidirektionaler zeitabhängiger ALT

# Core-ALT

## Idee:

- Begrenze Beschleunigungstechnik auf kleinen Subgraphen (Kern)



## Vorbereitung:

- Kontrahiere Graphen zu einem Kern
- Landmarken nur im Kern

## Anfrage:

- Initialphase:
  - Vorwärts: zeitabhängiger Dijkstra
  - Rückwärts: normaler Dijkstra auf unteren Schranken
- Im Kern: Bidirektionaler zeitabhängiger ALT

## Vorbereitung:

- Multi-Level-Partition
- Iterativer Prozess:
  - Kontrahiere Subgraphen
  - Berechne Flaggen
- Flaggenverfeinerung

## Anpassung (grob):

- Kontraktion und Flaggenberechnung anpassen
- Verfeinerung durch (lokale) Profilsuchen

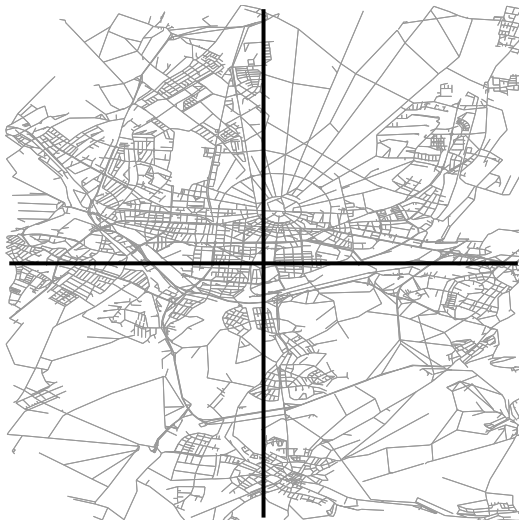


## Vorbereitung:

- Multi-Level-Partition
- Iterativer Prozess:
  - Kontrahiere Subgraphen
  - Berechne Flaggen
- Flaggenverfeinerung

## Anpassung (grob):

- Kontraktion und Flaggenberechnung anpassen
- Verfeinerung durch (lokale) Profilsuchen

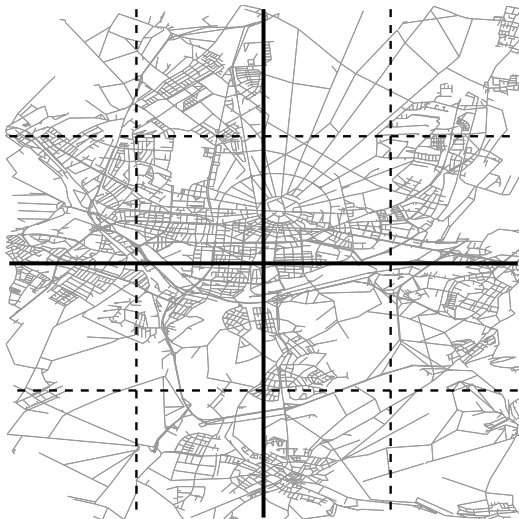


## Vorbereitung:

- Multi-Level-Partition
- Iterativer Prozess:
  - Kontrahiere Subgraphen
  - Berechne Flaggen
- Flaggenverfeinerung

## Anpassung (grob):

- Kontraktion und Flaggenberechnung anpassen
- Verfeinerung durch (lokale) Profilsuchen

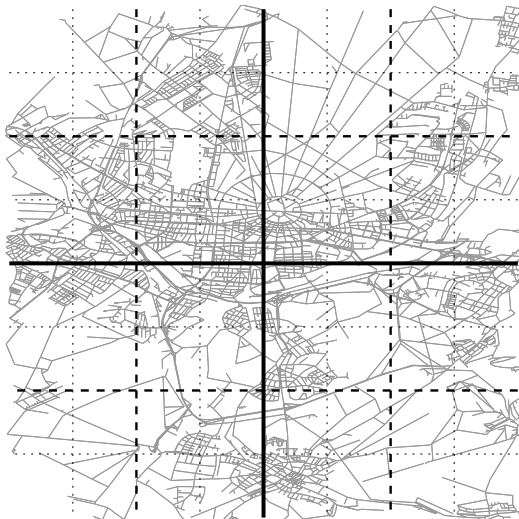


## Vorbereitung:

- Multi-Level-Partition
- Iterativer Prozess:
  - Kontrahiere Subgraphen
  - Berechne Flaggen
- Flaggenverfeinerung

## Anpassung (grob):

- Kontraktion und Flaggenberechnung anpassen
- Verfeinerung durch (lokale) Profilsuchen

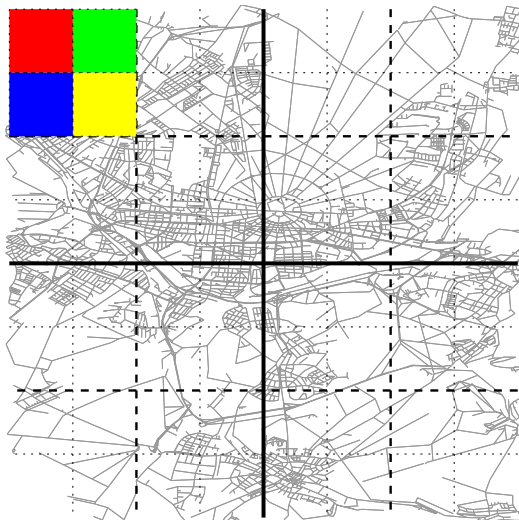


## Vorbereitung:

- Multi-Level-Partition
- Iterativer Prozess:
  - Kontrahiere Subgraphen
  - Berechne Flaggen
- Flaggenverfeinerung

## Anpassung (grob):

- Kontraktion und Flaggenberechnung anpassen
- Verfeinerung durch (lokale) Profilsuchen

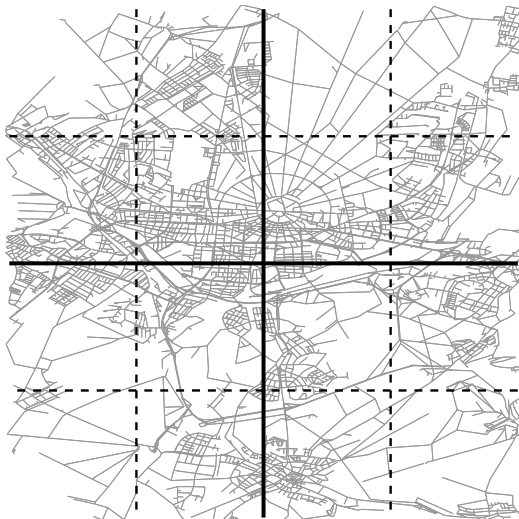


## Vorbereitung:

- Multi-Level-Partition
- Iterativer Prozess:
  - Kontrahiere Subgraphen
  - Berechne Flaggen
- Flaggenverfeinerung

## Anpassung (grob):

- Kontraktion und Flaggenberechnung anpassen
- Verfeinerung durch (lokale) Profilsuchen

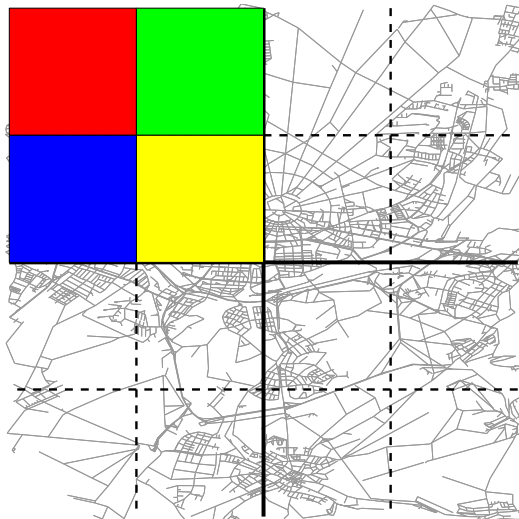


## Vorbereitung:

- Multi-Level-Partition
- Iterativer Prozess:
  - Kontrahiere Subgraphen
  - Berechne Flaggen
- Flaggenverfeinerung

## Anpassung (grob):

- Kontraktion und Flaggenberechnung anpassen
- Verfeinerung durch (lokale) Profilsuchen

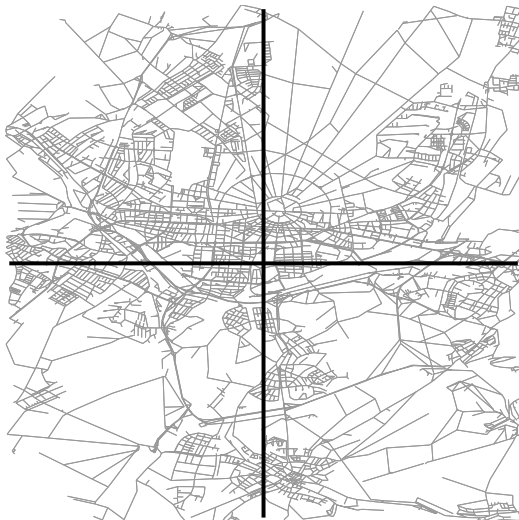


## Vorbereitung:

- Multi-Level-Partition
- Iterativer Prozess:
  - Kontrahiere Subgraphen
  - Berechne Flaggen
- Flaggenverfeinerung

## Anpassung (grob):

- Kontraktion und Flaggenberechnung anpassen
- Verfeinerung durch (lokale) Profilsuchen

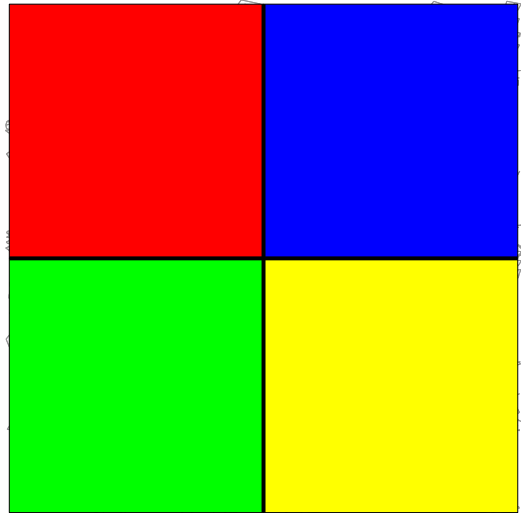


## Vorbereitung:

- Multi-Level-Partition
- Iterativer Prozess:
  - Kontrahiere Subgraphen
  - Berechne Flaggen
- Flaggenverfeinerung

## Anpassung (grob):

- Kontraktion und Flaggenberechnung anpassen
- Verfeinerung durch (lokale) Profilsuchen



## Vorbereitung:

- Berechne Knotenordnung auf Lower-Bound-Graph
- Kontrahiere zeitabhängig
- Erzeugt Suchgraphen  $G' = (V, \uparrow E \cup \downarrow E)$

## Vorbereitung:

- Berechne Knotenordnung auf Lower-Bound-Graph
- Kontrahiere zeitabhängig
- Erzeugt Suchgraphen  $G' = (V, \uparrow E \cup \downarrow E)$

## Anfrage:

- Rückwärtssuche schwierig (Ankunftszeit unbekannt)
- Naiv:
  - Rückwärts-Breitensuche von  $t$  auf  $(V, \downarrow E)$
  - $\downarrow E' =$  alle relaxierten Kanten
  - Zeitabhängige Vorwärtssuche in  $(V, \uparrow E \cup \downarrow E')$

## Vorbereitung:

- Berechne Knotenordnung auf Lower-Bound-Graph
- Kontrahiere zeitabhängig
- Erzeugt Suchgraphen  $G' = (V, \uparrow E \cup \downarrow E)$

## Anfrage:

- Rückwärtssuche schwierig (Ankunftszeit unbekannt)
- Naiv:
  - Rückwärts-Breitensuche von  $t$  auf  $(V, \downarrow E)$
  - $\downarrow E' =$  alle relaxierten Kanten
  - Zeitabhängige Vorwärtssuche in  $(V, \uparrow E \cup \downarrow E')$
- Besseres  $\downarrow E'$  durch Korridorsuche:
  - Berechne für jeden Knoten  $v$  untere Schranke  $\underline{d}(v, t)$  und obere Schranke  $\overline{d}(v, t)$
  - $\downarrow E' =$  alle Kanten  $(u, v)$  aus  $\downarrow E$  mit  $\underline{d}(u, v) + \underline{d}(v, t) \leq \overline{d}(u, t)$

input	type of ordering	Contr.			Queries	
		ordering [h:m]	const. [h:m]	space [B/n]	time [ms]	speed up
Monday	static min	0:05	0:20	1 035	1.19	1 240
	timed	1:47	0:14	750	1.19	1 244
midweek	static min	0:05	0:20	1 029	1.22	1 212
	timed	1:48	0:14	743	1.19	1 242
Friday	static min	0:05	0:16	856	1.11	1 381
	timed	1:30	0:12	620	1.13	1 362
Saturday	static min	0:05	0:08	391	0.81	1 763
	timed	0:52	0:08	282	1.09	1 313
Sunday	static min	0:05	0:06	248	0.71	1 980
	timed	0:38	0:07	177	1.07	1 321

## Idee:

- Speichere approximierte Funktionen an den Shortcuts
- Reduziert Speicher um bis zu Faktor 10
- Aber: Selbst die Vorwärtssuche liefert jetzt nur noch approximierte Ankunftszeitintervalle!

## Idee:

- Speichere approximierte Funktionen an den Shortcuts
- Reduziert Speicher um bis zu Faktor 10
- Aber: Selbst die Vorwärtssuche liefert jetzt nur noch approximierte Ankunftszeitintervalle!

## Exakte Query (viele Phasen!):

- Phase 1: Vor-auf: Ankunfts-Intervall, Rück-auf: min/max-Intervall
- Phase 2: Vor-ab: Ankunfts-Intervall
- Phase 3: Rück-auf: Reisezeit-Intervall
  - Obere/untere Schranken jetzt nicht mehr global, sondern innerhalb des Ankunfts-Intervalls
- Baue **Korridor-Suchgraph**:
  - Alle Knoten, an denen Suchen sich treffen: Kandidaten  $C$
  - Entpacke alle (approximierten) Shortcuts auf  $s-C-t$ -Pfad
  - Distanzen auf diesem Graphen sind exakt, weil Originalkanten
- Phase 4: Time-Dependent Dijkstra im Korridor-Suchgraph
- Ca. Faktor 2 langsamer als CH-Query auf unapproximierten Shortcuts

## Variante 1:

- Normale Profilsuche in der CH
- Langsam

## Variante 1:

- Normale Profilsuche in der CH
- Langsam

## Variante 2:

- Normale Profilsuche im Korridor (min/max, Approximation)
- Besser, aber es geht noch besser

## Variante 1:

- Normale Profilsuche in der CH
- Langsam

## Variante 2:

- Normale Profilsuche im Korridor (min/max, Approximation)
- Besser, aber es geht noch besser

## Variante 3:

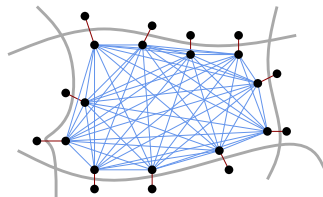
- Kontraktion des Korridors:
  - Halte Start- und Zielknoten fest
  - Führe exakte Kontraktion durch (Linken von Kanten, keine Approximation)
  - Priorisiere Knoten mit unkomplexen inzidenten Kanten
- Balancierte Berechnung

⇒ ca. 30 ms

# MLD (CRP)

## Beobachtungen:

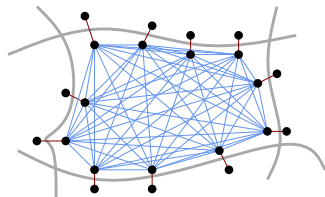
- Partitionierung metrik-unabhängig
- Viele Shortcuts/Overlay-Kanten
- Großer Vorteil von MLD (eigentlich):  
Komplettes Speicherlayout nach Partitionierung bekannt
- Uni-direktionale Anfragen möglich (Partition steuert Suchlevel)



# MLD (CRP)

## Beobachtungen:

- Partitionierung metrik-unabhängig
- Viele Shortcuts/Overlay-Kanten
- Großer Vorteil von MLD (eigentlich):  
Komplettes Speicherlayout nach Partitionierung bekannt
- Uni-direktionale Anfragen möglich (Partition steuert Suchlevel)



## TDCRP:

- Speicherlayout hängt an Komplexität der Overlay-Kanten-Funktionen; die ist aber vorab unbekannt
- Lohnt sich noch das Speichern der kompletten Cliques?
- Hilft geschickte Approximation?

# Approximation (TDCRP)

## Approximation hilft auch hier (sehr viel)

$\epsilon$ [%]	# Breakpoints	Lvl 1	Lvl 2	Lvl 3	Lvl 4	Lvl 5	Lvl 6
0	total	99 M	397 M	813 M	1 356 M	–	–
	per arc	21	69	188	507	–	–
0.1	total	65 M	126 M	142 M	121 M	68 M	26 M
	per arc	14	22	33	45	50	47
1.0	total	51 M	73 M	62 M	41 M	21 M	8 M
	per arc	11	13	14	15	15	14
10.0	total	28 M	28 M	19 M	12 M	6 M	1 M
	per arc	6	5	5	5	4	2

Approximation nach jedem Level.

## TDCRP robuster gegen Veränderungen in der Eingabe

Network	TCH		TDCRP	
	Pre. [s]	Q. [ms]	Cust. [s]	Q. [ms]
Europe	1 479	1.37	109	5.75
Europe, bad traffic	7 772	5.87	208	8.01
Europe, avoid highways	8 956	19.54	127	8.29

## Problem:

- Hoher Speicherbedarf der Shortcuts

## Ideen:

- Shortcuts nur approximieren → **inexakte Anfragen**
- Keine Gewichte am Shortcut speichern, stattdessen on-the-fly entpacken und Pfad linken → **spart Speicher, kostet Laufzeit**
- Speichere auf Shortcuts Über- und Unterapproximation der Funktionen
  - Induzieren wieder Korridor (aber genaueren als nur Min/Max!)
  - Entpacke Shortcuts im Korridor, dies gibt einen Teil des Originalgraphen
  - Benutze nun die nicht-approximierten Originalkanten für eine **exakte Suche**

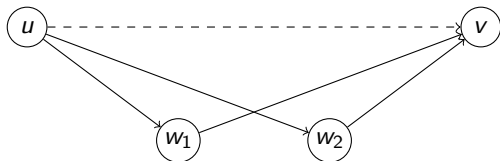
## Problem:

- Hoher Speicherbedarf der Shortcuts

## Ideen:

- Keine Gewichte am Shortcut speichern, stattdessen on-the-fly entpacken und Pfad linken → **spart Speicher, kostet Laufzeit**

- Beobachtung: Kürzeste Reisezeit ändert sich häufiger als Pfad
- Shortcuts speichern
  - Zeitabhängige kürzeste Pfade – **effiziente Entpackung**
  - Zeitunabhängige Schranken – **Pruning**
- CATCHUp = CCH + Unpacking Shortcuts + viel Engineering



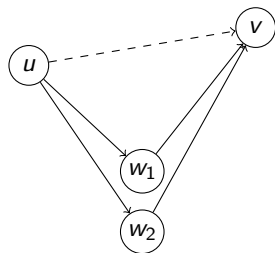
00:00	$uw_1$	$w_1v$
07:32	$uw_2$	$w_2v$
15:42	$uw_1$	$w_1v$

## Idee:

- CCH-Customization + Optimierungen
- Reisezeitfunktionen temporär speichern

## Pruning mit Schranken:

- Precustomization mit oberen/unteren Schranken
- Dreiecke nach unterer Schranke sortieren



## Idee:

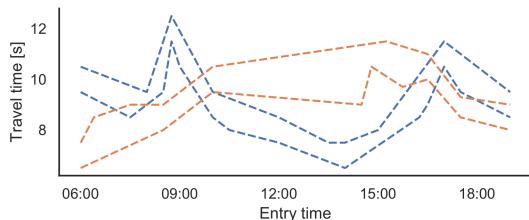
- CCH-Customization + Optimierungen
- Reisezeitfunktionen temporär speichern

## Pruning mit Schranken:

- Precustomization mit oberen/unteren Schranken
- Dreiecke nach unterer Schranke sortieren

## Approximation:

- Hüllkurven nutzen, wenn Funktionen zu komplex
- Beschleunige damit Merge-Operation:
  - Bestimme Bereiche, in denen sich Hüllkurven überlappen
  - Rekonstruiere nur da die exakten Profile



## Idee:

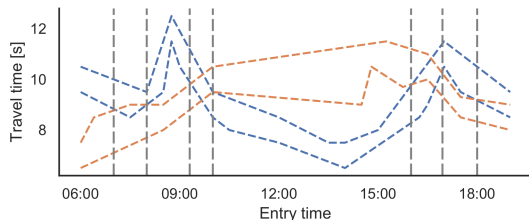
- CCH-Customization + Optimierungen
- Reisezeitfunktionen temporär speichern

## Pruning mit Schranken:

- Precustomization mit oberen/unteren Schranken
- Dreiecke nach unterer Schranke sortieren

## Approximation:

- Hüllkurven nutzen, wenn Funktionen zu komplex
- Beschleunige damit Merge-Operation:
  - Bestimme Bereiche, in denen sich Hüllkurven überlappen
  - Rekonstruiere nur da die exakten Profile



## Idee:

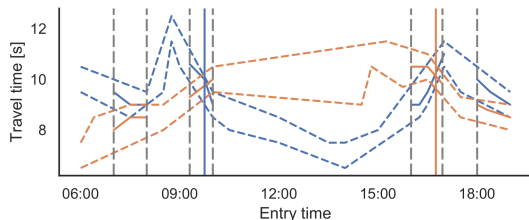
- CCH-Customization + Optimierungen
- Reisezeitfunktionen temporär speichern

## Pruning mit Schranken:

- Precustomization mit oberen/unteren Schranken
- Dreiecke nach unterer Schranke sortieren

## Approximation:

- Hüllkurven nutzen, wenn Funktionen zu komplex
- Beschleunige damit Merge-Operation:
  - Bestimme Bereiche, in denen sich Hüllkurven überlappen
  - Rekonstruiere nur da die exakten Profile



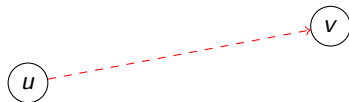
## 2 Phasen:

- Phase 1: Elimination-Tree-Query auf oberen/unteren Schranken
  - Liefert Ankunfts-Intervall an jedem Knoten
  - Extrahiere daraus Korridor-Suchgraph
- Phase 2: A\* auf dem Korridor-Suchgraph
  - Entpacke Shortcuts „lazy“ bei Bedarf



## 2 Phasen:

- Phase 1: Elimination-Tree-Query auf oberen/unteren Schranken
  - Liefert Ankunfts-Intervall an jedem Knoten
  - Extrahiere daraus Korridor-Suchgraph
- Phase 2: A\* auf dem Korridor-Suchgraph
  - Entpacke Shortcuts „lazy“ bei Bedarf

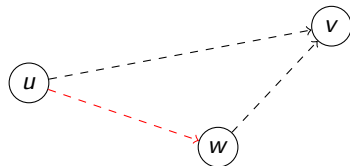


## Lazy Auspacken/Relaxieren:

- Falls Originalkante: Relaxiere direkt
- Falls Shortcut: Entpacke Subkanten  $e_1, e_2$
- $e_1$  kann selbst wieder Shortcut sein  $\rightarrow$  Rekursion
- Füge  $e_2$  zum Korridor hinzu

## 2 Phasen:

- Phase 1: Elimination-Tree-Query auf oberen/unteren Schranken
  - Liefert Ankunfts-Intervall an jedem Knoten
  - Extrahiere daraus Korridor-Suchgraph
- Phase 2: A\* auf dem Korridor-Suchgraph
  - Entpacke Shortcuts „lazy“ bei Bedarf



## Lazy Auspacken/Relaxieren:

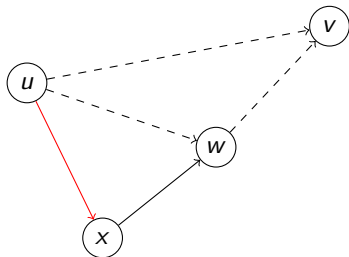
- Falls Originalkante: Relaxiere direkt
- Falls Shortcut: Entpacke Subkanten  $e_1, e_2$
- $e_1$  kann selbst wieder Shortcut sein  $\rightarrow$  Rekursion
- Füge  $e_2$  zum Korridor hinzu

## 2 Phasen:

- Phase 1: Elimination-Tree-Query auf oberen/unteren Schranken
  - Liefert Ankunfts-Intervall an jedem Knoten
  - Extrahiere daraus Korridor-Suchgraph
- Phase 2: A\* auf dem Korridor-Suchgraph
  - Entpacke Shortcuts „lazy“ bei Bedarf

## Lazy Auspacken/Relaxieren:

- Falls Originalkante: Relaxiere direkt
- Falls Shortcut: Entpacke Subkanten  $e_1, e_2$
- $e_1$  kann selbst wieder Shortcut sein  $\rightarrow$  Rekursion
- Füge  $e_2$  zum Korridor hinzu



## 2 Phasen:

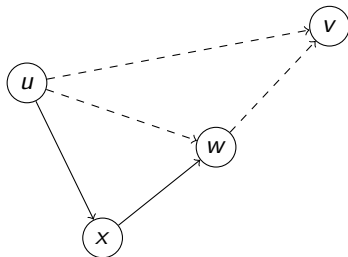
- Phase 1: Elimination-Tree-Query auf oberen/unteren Schranken
  - Liefert Ankunfts-Intervall an jedem Knoten
  - Extrahiere daraus Korridor-Suchgraph
- Phase 2: A\* auf dem Korridor-Suchgraph
  - Entpacke Shortcuts „lazy“ bei Bedarf

## Lazy Auspacken/Relaxieren:

- Falls Originalkante: Relaxiere direkt
- Falls Shortcut: Entpacke Subkanten  $e_1, e_2$
- $e_1$  kann selbst wieder Shortcut sein  $\rightarrow$  Rekursion
- Füge  $e_2$  zum Korridor hinzu

## Zielgerichtet:

- Phase 1 liefert untere Schranken
- Benutze diese als A\*-Potentiale
- Beim Auspacken von Shortcuts: Propagiere Schranken zu neuen Knoten



	CCH arcs [ $\cdot 10^3$ ]	Expansions per arc			Index [GB]	Running time [s]	
		Avg.	Max.	= 1 [%]		Phase 1	Phase 2
Ber	1 977	1.039	31	98.6	0.09	1.5	6.2
Ger06	22 519	1.075	44	98.4	1.06	30.1	21.6
Ger17	31 488	1.090	107	98.5	1.50	35.0	107.4
Eur17	114 857	1.099	115	98.4	5.47	189.6	557.0
Eur20	128 921	1.191	109	96.9	6.32	209.6	1 039.5

# Einfacher?

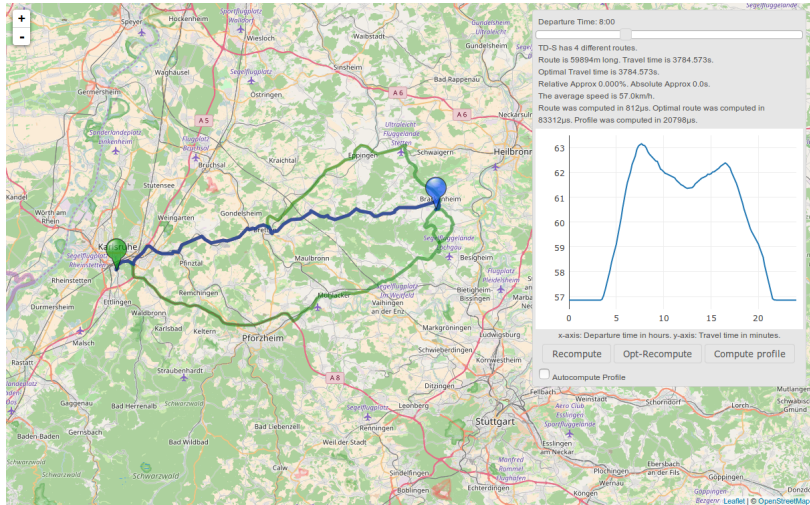
- Bis hierhin: Viele komplizierte Algorithmen
- Geht das nicht einfacher?

- Bis hierhin: Viele komplizierte Algorithmen
- Geht das nicht einfacher?
- **Freeflow-Heuristik:**
  - Berechne eine CH auf dem Lower-Bound-Graph
  - Berechne darauf den zeitunabhängig kürzesten Pfad
  - Rechne zeitabhängige Fahrzeit entlang des Pfads nach

Etwas ausgefeilter:

- Tag in charakteristische Abschnitte aufteilen  
*Rush-Hour morgens, mittags, Rush-Hour nachmittags, nachts, (live)*
- Zeit-**unabhängiger** Graph für jeden Abschnitt
  - Gewichte: Durchschnittliche Reisezeit pro Abschnitt
- Eine (C)CH pro Abschnitt
- Zeit-**unabhängiger** kürzester Pfad pro Abschnitt
- Pfade zu Subgraph vereinigen
- **Earliest Arrival**: TD-Dijkstra in Subgraph
- **Profil**: Alle 10 min. TD-Dijkstra in Subgraph

# Time-Dependent Sampling



- Vorberechnung: CH auf Lower-Bound-Graph  $\underline{G}$
- Query: A\* mit Distanz zum Ziel in  $\underline{G}$  als Potential
- Berechne Potentiale on-the-fly mit Lazy RPHAST

# Performance EA Queries: Ger06

	Prepro.	Custom.	Space	Query	Rel. error [%]	
	Cores × [s]	Cores × [s]	[GB]	[ms]	Avg.	Max.
TD-Dijkstra	–	–	–	525.48	–	–
TDCALT	540	–	0.23	5.36	–	–
TDCALT-K1.15	540	–	0.23	1.87	0.050	13.840
eco L-SHARC	4 680	–	1.03	6.31	–	–
heu SHARC	12 360	–	0.64	0.69	n/r	0.610
KaTCH	16 × 170	–	4.66	0.63	–	–
TCH	8 × 378	8 × 74	4.66	0.75	–	–
ATCH (1.0)	8 × 378	8 × 74	1.12	1.24	–	–
ATCH ( $\infty$ )	8 × 378	8 × 74	0.55	1.66	–	–
inex. TCH (0.1)	8 × 378	8 × 74	1.34	0.70	0.020	0.100
inex. TCH (1.0)	8 × 378	8 × 74	1.00	0.69	0.270	1.010
TD-CRP (0.1)	16 × 273	16 × 16	0.78	1.92	0.050	0.250
TD-CRP (1.0)	16 × 273	16 × 8	0.36	1.66	0.680	2.850
TD-S+9	547	–	3.61	1.67	0.001	1.523
CATCHUp	16 × 31	16 × 18	1.06	0.70	–	–
CH-Potentials	59	–	0.19	4.50	–	–

	Run T. [ms]
eco SHARC	47 388
heu SHARC	847
TCH	95.5
ATCH (2.5)	38.7
TD-S+P4	19.5
TD-S+P9	22.2
CATCHUp	83.6

# Performance EA Queries: Ger17

	Prepro.	Custom.	Space	Query	Rel. error [%]	
	Cores $\times$ [s]	Cores $\times$ [s]	[GB]	[ms]	Avg.	Max.
TD-Dijkstra	–	–	–	869.79	–	–
KaTCH	16 $\times$ 874	–	42.81	1.38	–	–
TD-S+9	617	–	5.28	2.28	0.001	0.963
CATCHUp	16 $\times$ 35	16 $\times$ 92	1.50	1.87	–	–

	Prepro.	Custom.	Space	Query	Rel. error [%]	
	Cores × [s]	Cores × [s]	[GB]	[ms]	Avg.	Max.
TD-Dijkstra	–	–	–	2 581.16	–	–
KaTCH	16 × 3 089	–	146.97	OOM	–	–
TD-S+9	3 368	–	18.84	4.03	0.002	1.159
CATCHUp	16 × 196	16 × 479	5.48	4.50	–	–
CH-Potentials	293	–	1.10	89.70	–	–

- Daniel Delling:  
**Engineering and Augmenting Route Planning Algorithms**  
Ph.D. Thesis, Universität Karlsruhe (TH), 2009.
- Gernot Veit Batz, Robert Geisberger, Peter Sanders, Christian Vetter:  
**Minimum Time-Dependent Travel Times with Contraction Hierarchies**  
In: *Journal of Experimental Algorithmics*, 2013.
- Moritz Baum, Julian Dibbelt, Thomas Pajor, Dorothea Wagner:  
**Dynamic Time-Dependent Route Planning in Road Networks with User Preferences**  
In: *Proceedings of the 9th International Symposium on Experimental Algorithms (SEA'16)*, 2016.
- Ben Strasser: **Dynamic Time-Dependent Routing in Road Networks Through Sampling**  
In: *17th Workshop on Algorithmic Approaches for Transportation Modelling, Optimization, and Systems (ATMOS'17)*, 2017.

- Ben Strasser, Dorothea Wagner, Tim Zeitz: **Space-efficient, Fast and Exact Routing in Time-dependent Road Networks**  
In: *Proceedings of the 28th Annual European Symposium on Algorithms (ESA'20)*
- Ben Strasser, Tim Zeitz: **A Fast and Tight Heuristic for A\* in Road Networks**  
In: *Proceedings of the 19th International Symposium on Experimental Algorithms (SEA'21)*